arXiv:1512.03080v1 [math.CO] 9 Dec 2015

q-POLYNOMIAL INVARIANT OF ROOTED TREES

JÓZEF H. PRZYTYCKI

Abstract. We describe in this note a new invariant of rooted trees. We argue that the invariant is interesting on it own, and that it has connections to knot theory and homological algebra. However, the real reason that we propose this invariant to readers is that we deal here with an elementary, interesting, new mathematics, and after reading this essay readers can take part in developing the topic, inventing new results and connections to other disciplines of mathematics, and likely, statistical mechanics, and combinatorial biology. We also provide a (free) translation of the paper in Polish.

Contents

1. Introduction 1
1.1. Quantum plane 1
2. Recursive definition of q-polynomial of plane rooted tree 6
3. Comments and Connections 12
4. Acknowledgements 13
References 13
1. Wstęp 15
1.1. Nieprzemienna płaszczyzna zwana także płaszczyzną kwantową 15
2. Rekurencyjna definicja q-wielomianu płaskiego drzewa z korzeniem 20
3. Komentarze i powiązania 25
References 27

1. Introduction

1.1. Quantum plane.

We know well the Newton binomial formula:

$$(x+y)^n = \sum_{i=0}^{n} \binom{n}{i} x^i y^{n-i}.$$

Of course we assume here that the variables commute, that is $yx = xy$.

We can also visualize formulas for coefficients of $(x+y)^n$ by considering the tree $T_{b,a}$ of two long branches of length b and a respectively, coming from the root (Figure 1.1). We can ask now how many different ways there are to "pluck" the tree $T_{b,a}$ one leaf at a time. Of course we can tear (like in the child's play "likes not like") the left or right branch. In total: the left should be torn b times and the right a times so the answer about the number of different pluckings is clearly $\binom{a+b}{a}$. Our notes present a dramatic generalization of this example.

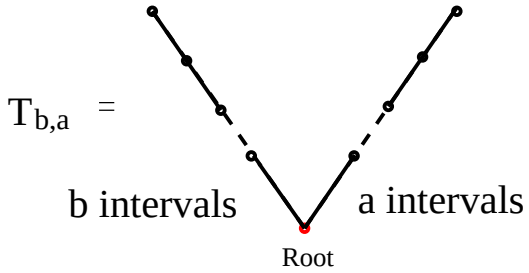

Figure 1.1; the tree $T_{b,a}$ with branches of length b and a

We can ask now what happens with the binomial formula if we weaken commutativity by replacing it with $yx = qxy$ (q commutes with x and y). In applications in physics, q is often taken to be a complex number but it is better to work generally with the ring $Z[q]$ and q-commutative[1] polynomials of variables x and y over this ring (we call this ring of polynomials the quantum plane or noncommutative plane). The formula for $(x+y)^n$ in the quantum plane was known already in the XIX century, but if we do not know the result it is good to first work out small examples: $(x+y)^2 = y^2+xy+yx+x^2 = y^2+(1+q)xy+x^2$,
$(x+y)^3 = y^3+xy^2+yxy+y^2x+x^2y+xyx+yx^2+x^3 =$
$y^3+(1+q+q^2)xy^2+(1+q+q^2)x^2y+y^3$,
$(x+y)^4 = y^4+xy^3+yxy^2+y^2xy+y^3x+x^2y^2+xyxy+xy^2x+yx^2y+yxyx+y^2x^2+x^3y+x^2yx+xyx^2+yx^3+x^4 = y^4+(1+q+q^2+q^3)xy^3+(1+q+2q^2+q^3+q^4)x^2y^2+(1+q+q^2+q^3)x^3y+x^4 = y^4+(1+q+q^2+q^3)xy^3+(1+q^2)(1+q+q^2)x^2y^2+(1+q+q^2+q^3)x^3y+x^4$.
Observe that we can think of $1+q+...+q^{n-1}$ as a q-analogue of the number n. We define formally $[n]_q = 1+q+...+q^{n-1}$. In

[1]By q-commutative we understand exactly $yx = qxy$.

particular, for $q = 1$, $[n]_q = n$. In the same vein we define q factorial of the q-number $[n]_q$ as: $[n]_q! = [n]_q[n-1]_q \cdots [2]_q[1]_q$, and q-analogue of the binomial coefficient[2] by $\binom{n}{i}_q = \frac{[n]_q!}{[i]_q![n-i]_q!}$. Sometimes to stress symmetry, $i \leftrightarrow n-i$, of the Gaussian polynomial we write $\binom{n}{i,n-i}_q$. We also observe that the coefficient of x^2y^2 in $(x+y)^4$ is $(1+q^2)(1+q+q^2) = \frac{1+q+q^2+q^3}{1+q}(1+q+q^2) = \frac{[4]_q[3]_q}{[2]_q} = \binom{4}{2}_q$.

In the notation we introduced, our calculations can be concisely written as:

$$(x+y)^2 = y^2 + [2]_q xy + x^2,$$

$$(x+y)^3 = y^3 + [3]_q xy^2 + [3]_q x^2 y + x^3,$$

$$(x+y)^4 = y^4 + [4]_q xy^3 + \binom{4}{2}_q x^2y^2 + [4]_q x^3 y + x^4.$$

Now it is not difficult to guess the general formula for $(x+y)^n$ in the quantum plane:

Proposition 1.1. *If $yx = qxy$ then*

$$(x+y)^n = \sum_{i=0}^{n} \binom{n}{i}_q x^i y^{n-i}.$$

Proof. The simplest proof is by induction on n however one can also find proofs without words, interpreting combinatorially left and right sides of the equation.
Inductive proof: We already checked the formula for $n \leq 4$, and we should add that we need the convention (as in the classical case).
that $[0]_q! = 1$ and consequently $\binom{n}{0}_q = 1 = \binom{n}{n}_q$. Now we perform the inductive step (from $n-1$ to n):

$$(x+y)^n = (x+y)(x+y)^{n-1} = (x+y)\sum_{i=0}^{n-1} \binom{n-1}{i, n-i-1}_q x^i y^{n-i-1} =$$

$$\sum_{i=0}^{n-1} \binom{n-1}{i, n-i-1}_q x^{i+1} y^{n-i-1} + \sum_{i=0}^{n-1} q^i \binom{n-1}{i, n-i-1}_q x^i y^{n-i} =$$

$$\sum_{i=0}^{n} \Big(\binom{n-1}{i-1, n-i}_q + q^i \binom{n-1}{i, n-i-1}_q \Big) x^i y^{n-i}.$$

[2]Called also the Gaussian polynomial, q-polynomial of Gauss, Gaussian binomial coefficient, Gaussian coefficient, or q-binomial coefficient.

We use here the convention that $\binom{n-1}{-1,n}_q = 0$.
We are left now to check that

$$\binom{n-1}{i-1,n-i}_q + q^i \binom{n-1}{i,n-i-1}_q) = \binom{n}{i}_q .$$

We encourage the reader to check it by themselves before looking at the following calculation.

(i) $[a+b]_q = 1+q+...+q^{a+b-1} = (1+q+...+q^{a-1}) + q^a(1+q+...+q^{b-1}) = [a]_q + q^a[b]_q = [b]_q + q^b[a]_q$.

(ii)

$$\binom{a+b}{a,b}_q = \frac{[a+b]_q!}{[a]_q![b]_q!} = [a+b]_q \frac{[a+b-1]_q!}{[a]_q![b]_q!} =$$

$$([a]_q + q^a[b]_q)\frac{[a+b-1]_q!}{[a]_q![b]_q!} = \frac{[a+b-1]_q!}{[a-1]_q![b]_q!} + q^a \frac{[a+b-1]_q!}{[a]_q![b-1]_q!} =$$

$$\binom{a+b-1}{a-1,b}_q + q^a \binom{a+b-1}{a,b-1}_q = \binom{a+b-1}{a,b-1}_q + q^b \binom{a+b-1}{a-1,b}_q .$$

□

We can now go back to the tree $T_{b,a}$ and play the game in the q-fashion that is the leaf taken from the right (a) branch is counted as 1 but the leaf taken from the left is counted with the weight q^a. Thus we eventually get not the plucking number but the plucking polynomial $Q(T_{b,a})$ which by definition satisfies the recursive relation $Q(T_{b,a}) = Q(T_{b,a-1}) + q^a Q(T_{b-1,a})$. We also notice that $Q(T_{0,a}) = Q(T_{b,0}) = 1$, thus we immediately recognize that the plucking polynomial is $Q(T_{b,a}) = \binom{a+b}{a,b}_q$. This is the starting point to our definition of the polynomial of plane rooted trees mentioned in the title of the note.

We can repeat our considerations with many variables, $x_1, x_2, ..., x_k$. If variables commute we get the familiar multinomial formula (e.g. familiar to every student taking multivariable calculus):

$$(x_1 + x_2 + ... + x_k)^n = \sum_{a_1,...,a_k; \sum a_i = n} \binom{n}{a_1, ..., a_k} x_1^{a_1} x_2^{a_2} \cdots x_k^{a_k},$$

where $\binom{n}{a_1,...,a_k} = \frac{[n]!}{[a_1]!...[a_k]!}$. As before the pleasant interpretation of $\binom{n}{a_1,...,a_k}$ is the number of pluckings of a tree $T_{a_k,...,a_2,a_1}$ of k long branches of length $a_k, ..., a_2, a_1$, respectively, as illustrated in Figure 1.2.

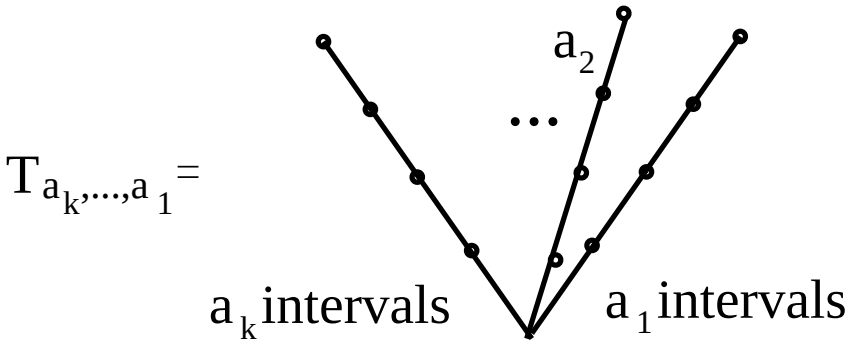

Figure 1.2; the tree $T_{a_k,...,a_1}$ with branches of length $a_k, ..., a_1$

We can now consider a noncommutative space with $x_j x_i = q x_i x_j$, for $i < j$. We will get the q-multinomial formula:

$$(x_1 + x_2 + ... + x_k)^n = \sum_{a_1,...,a_k; \sum a_i = n} \binom{n}{a_1, ..., a_k}_q x_1^{a_1} x_2^{a_2} \cdots x_k^{a_k},$$

where $\binom{n}{a_1,...,a_k}_q = \frac{[n]_q!}{[a_1]_q! \ldots [a_k]_q!}$. To prove the formula we can again use an induction on n and again the following two properties are of value:

(i) $[a_1+a_2+...+a_k]_q = [a_1]_q + q^{a_1}[a_2]_q + q^{a_1+a_2}[a_2]_q + ... + q^{a_1+a_2+...+a_{k-1}}[a_k]_q$.

(ii)

$$\binom{a_1 + a_2 + ... + a_k}{a_1, a_2, ..., a_k}_q = \binom{a_1 + a_2 + ... + a_k - 1}{a_1 - 1, a_2, ..., a_k}_q +$$

$$q^{a_1}\binom{a_1 + a_2 + ... + a_k - 1}{a_1, a_2 - 1, ..., a_k}_q + ... + q^{a_1+a_2+...+a_{k-1}}\binom{a_1 + a_2 + ... + a_k - 1}{a_1, a_2, ..., a_k - 1}_q.$$

As in the q-binomial case, we can interpret the q-multinomial coefficients by q-plucking the tree $T_{a_k,...,a_2,a_1}$, that is assuming the following plucking formula

$$Q(T_{a_k,...,a_2,a_1}) = Q(T_{a_k,...,a_2,a_1-1}) + q^{a_1} Q(T_{a_k,...,a_2-1,a_1}) +$$

$$q^{a_1+a_2} Q(T_{a_k,...,a_3-1,a_2,a_1}) + ... + q^{a_1+a_2+...+a_{k-1}} Q(T_{a_k-1,...,a_2,a_1}).$$

The recursion is the same as for the q-multinomial coefficient so we conclude that

$$Q(T_{a_k,...,a_2,a_1}) = \binom{a_1 + a_2 + ... + a_k}{a_1, a_2, ..., a_k}_q.$$

One can find more properties of q-binomial coefficients in [K-C].

2. Recursive definition of q-polynomial of plane rooted tree

Our description of the quantum plane and noncommutative space is already over one hundred years old (e.g. MacMahon (1854-1929)). It may, therefore, look surprising that a simple generalization to rooted trees, which we present here, is totally new. Maybe the explanation lies in the observation that, because there are so many q-analogues, a new one is studied only if there is an outside reason to do so (like the Jones revolution in knot theory, in my case). Perhaps our q-polynomial is buried somewhere in a work of MacMahon contemporaries?

We start our definition from the polynomial of a plane (that is embedded in the plane) rooted tree. In Corollary 2.3 (iii) we show that the polynomial does not depend on the plane embedding and is therefore an invariant of rooted trees.

In our work we use the convention that trees are growing up (like in Figure 2.1).

Definition 2.1. *Consider the plane rooted tree T (compare Figure 2.1). We associate to T the polynomial $Q(T,q)$ (or succinctly $Q(T)$) in the variable q as follows.*

(i) *If T is the one vertex tree, then $Q(T,q)=1$.*
(ii) *If T has some edges (i.e. $|E(T)|>0$) then*

$$Q(T,q)=\sum_{v\in \text{ leaves}} q^{r(T,v)}Q(T-v,q),$$

where the sum is taken over all leaves, that is vertices of degree 1 (not a root), of T and $r(T,v)$ is the number of edges of T to the right of the unique path connecting v with the root (an example is given in Figure 2.1).

In Figure 2.2 we give an example of the expansion by our formula and if we complete the calculation we get the polynomial $Q(T)$:

$$1+4q+9q^2+17q^3+28q^4+41q^5+56q^6+71q^7+83q^8+91q^9+94q^{10}+$$

$$91q^{11}+83q^{12}+71q^{13}+56q^{14}+41q^{15}+28q^{16}+17q^{17}+9q^{18}+4q^{19}+q^{20}.$$[3]

[3]We show later that it is in fact equal to $[2]_q^2[4]_q\binom{8}{3,5}_q$; Corollary 2.3 (ii).

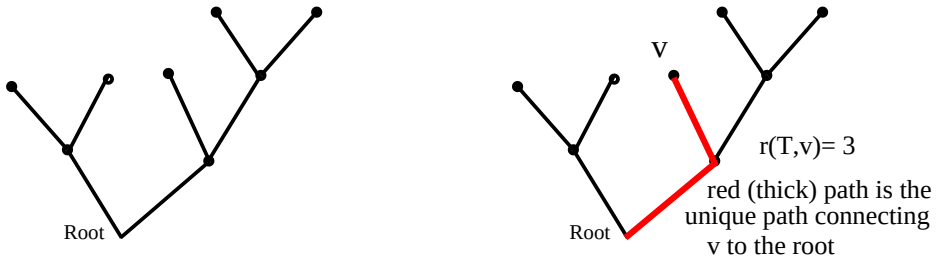

Figure 2.1; Plane rooted tree and an example of $r(T, v)$

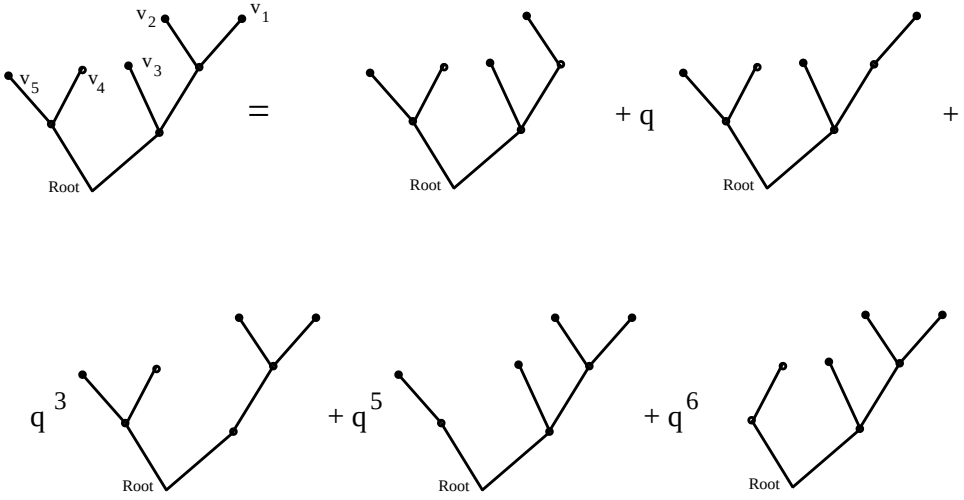

Figure 2.2; Tree expansion in the q-world

As an example we can check that for $T_{1,1,\ldots,1}$ a star with n rays we get $Q(T_{1,1,,\ldots,1}) = [n]_q!$. In particular, $Q(\bigvee) = (1 + q) = [2]_q$. One can look at a proof of the formula by direct induction on n, but of course it is a very special case of the last formula of Section 1.

The first important result in our theory of $Q(T)$ polynomials is the product formula for trees glued along their roots (wedge or pointed product).

Theorem 2.2. *Let $T_1 \vee T_2$ be a wedge product of trees T_1 and T_2* 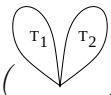

). Then:

$$Q(T_1 \vee T_2) = \binom{|E(T_1)| + |E(T_2)|}{|E(T_1)|}_q Q(T_1)Q(T_2)$$

Proof. We proceed by induction on the number of edges of T, $|E(T)|$, with the obvious initial case of no edges in one of the trees, that is $|E(T_1)| = 0$ or $|E(T_2)| = 0$. For simplicity we write E_i for $|E(T_i)|$.
Let T be a rooted plane tree with $E_1E_2 \neq 0$, then we have:

$$Q(T) = \sum_{v \in L(T)} q^{r(T,v)} Q(T - v) =$$

$$\sum_{v \in L(T_1)} q^{r(T_1,v)+E_2} Q(T_1 - v) \vee T_2) + \sum_{v \in L(T_2)} q^{r(T_2,v)} Q(T_1 \vee (T_2 - v)) \overset{inductive\ assumption}{=}$$

$$\sum_{v \in L(T_1)} q^{r(T_1,v)+E_2} \binom{E_1 + E_2 - 1}{E_1 - 1, E_2}_q Q(T_1 - v)Q(T_2) +$$

$$\sum_{v \in L(T_2)} q^{r(T_2,v)} \binom{E_1 + E_2 - 1}{E_1, E_2 - 1}_q Q(T_1)Q(T_2 - v) =$$

$$Q(T_2)q^{E_2} \binom{E_1 + E_2 - 1}{E_1 - 1, E_2}_q \sum_{v \in L(T_1)} q^{r(T_1,v)} Q(T_1 - v) +$$

$$Q(T_1) \binom{E_1 + E_2 - 1}{E_1, E_2 - 1}_q \sum_{v \in L(T_2)} q^{r(T_2,v)} Q(T_2 - v) \overset{definition}{=}$$

$$Q(T_1)Q(T_2)(q^{E_2} \binom{E_1 + E_2 - 1}{E_1 - 1, E_2}_q + \binom{E_1 + E_2 - 1}{E_1, E_2 - 1}_q) =$$

$$Q(T_1)Q(T_2) \binom{E_1 + E_2}{E_1, E_2}_q \text{ as needed}^4.$$

□

[4]One can modify the polynomial $Q(T)$ so that the formula of Theorem 2.2 can be interpreted as a homomorphism. For this we take $Q'(T) = \frac{Q(T)}{[|E(T)|]_q!}$. With this definition we have $Q'(T_1 \vee T_2) = Q'(T_1)Q'(T_2)$. A disadvantage of such an approach is that $Q'(T)$ is not ncessarily a polynomial but only a rational function.

Directly from Theorem 2.2 we conclude several properties of the q-polynomial, $Q(T)$, which by the nature of its definition, as pointed up before, we propose to be called the *plucking polynomial*. We should stress, in particular, part (iii) which establishes the independence of the polynomial of its plane embedding.

Corollary 2.3. (i) *Let a plane tree be a wedge product of k trees* 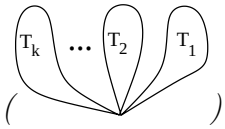

( ) that is

$$T = T_k \vee ... \vee T_2 \vee T_1, \text{ then}$$

$$Q(T) = \binom{E_k + E_{k-1} + ... + E_1}{E_k, E_{k-1}, ..., E_1}_q Q(T_k)Q(T_{k-1}) \cdots Q(T_1),$$

where $E_i = |E(T_i)|$ is the number of edges in T_i.

(ii) *(State product formula)*

$$Q(T) = \prod_{v \in V(T)} W(v),$$

where $W(v)$ is a weight of a vertex (we can call it a Boltzmann weight) defined by:

$$W(v) = \binom{E(T^v)}{E(T^v_{k_v}), ..., E(T^v_1)}_q,$$

where T^v is a subtree of T with root v (part of T above v, in other words T^v grows from v) and T^v may be decomposed into wedge of trees as follows: $T^v = T^v_{k_v} \vee ... \vee T^v_2 \vee T^v_1$.

(iii) *(Independence from a plane embedding) Plucking polynomial, $Q(T)$ does not depend on a plane embedding, it is therefore an invariant of rooted trees.*

(iv) *(Change of root). Let e be be an edge of a tree T with the endpoints v_1 and v_2. Denote by E_1 the number of edges of the tree T_1 with the root v_1 and E_2 the number of edges of the tree T_2 with the root v_2, where*

$T =$ 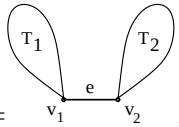

. Then $Q(T, v_1) = \dfrac{[E_1 + 1]_q}{[E_2 + 1]_q} Q(T, v_2)$.

Proof. (i) The formula (i) follows by using $(k-1)$-times the product formula of Theorem 2.2 and the fact that the q-multinomial coefficient

is a product of binomial coefficients:

$$\binom{a_k + a_{k-1} + ... + a_2 + a_1}{a_k, a_{k-1}, ..., a_2, a_1}_q \stackrel{def.}{=} \frac{[a_k + a_{k-1} + ... + a_2 + a_1]_q!}{[a_k]_q![a_{k-1}]_q!...[a_2]_q![a_1]_q!} =$$

$$\frac{[a_2 + a_1]_q!}{[a_2]_q![a_1]_q!} \cdot \frac{[a_3 + a_2 + a_1]_q!}{[a_3]_q![a_2 + a_1]_q!} \cdot ... \cdot \frac{[a_k + a_{k-1} + ... + a_2 + a_1]_q!}{[a_k]_q![a_{k-1} + ... + a_2 + a_1]_q!} =$$

$$= \binom{a_2 + a_1}{a_2, a_1}_q \binom{a_3 + a_2 + a_1}{a_3, a_2 + a_1}_q \binom{a_4 + a_3 + a_2 + a_1}{a_4, a_3 + a_2 + a_1}_q ... \binom{a_k + a_{k-1} + ... + a_2 + a_1}{a_k, a_{k-1} + ... + a_2 + a_1}_q$$

(ii) The formula (ii) follows by using (i) several times.
(iii) Independence of embedding follows from the fact that the state product formula (ii) does not depend on the embedding.
(iv) We compare product formulas of Theorem 2.2 for v_1 and v_2 and we get:

$$Q(T, v_1) = \binom{E_1 + E_2 + 1}{E_1, E_2 + 1}_q Q(T_1)Q(T_2) \text{ and}$$

$$Q(T, v_2) = \binom{E_1 + E_2 + 1}{E_1 + 1, E_2}_q Q(T_1)Q(T_2),$$

from which the formula of (iv) follows directly.

□

There are other nice properties of $Q(T)$ (e.g. the observation that it has polynomial time complexity) and I am sure readers will discover more. Here we give a few properties which have some importance in knot theory.

Corollary 2.4. (1) *$Q(T)$ is of the form $c_0 + c_1 q + ... + c_N q^N$ where:*
(i) $c_0 = 1 = c_N$, $c_i > 0$ for every $i \leq N$,
(ii) $c_i = c_{N-i}$, that is $Q(T)$ is a palindromic polynomial (often, less precisely we say symmetric polynomial),
(iii) the sequence $c_0, c_1, ..., c_N$ is unimodal, that is for some j:

$$c_0 \leq c_1 \leq ... \leq c_j \geq c_{j+1} \geq \ldots \geq c_N$$

(in our case $j = \lfloor \frac{N}{2} \rfloor$ or $\lceil \frac{N}{2} \rceil$).
(iv) For a nontrivial tree T, that is a tree with at least one edge, we have:

$$c_1 = \sum_{v \in V(T)} (k_v - 1),$$

where $k_v = deg_{T^v}(v)$ is the number of edges growing up from v, that is the degree of v in the tree T^v growing from v (as in Corollary 2.3 (ii)). In particular, if T is a binary tree, $c_1(T)$ is the number of vertices of T which are not leaves.

(2) (i) *$Q(T)$ is a product of q-binomial coefficients (of type $\binom{a+b}{a}_q$).*
(ii) *$Q(T)$ is a product of cyclotomic polynomials*[5].

(3) *The degree of the polynomial $N = degQ(T)$ can be described by the formula:*

$$N = degQ(T) = \sum_{v \in V(T)} (\sum_{1 \le i < j \le k_v} E_i^v E_j^v),$$

where, as in Corollary 2.3(ii) T^v is a subtree of T with the root v (part of T above v, in other words T^v is growing from v) and T^v can be presented as a bouquet of trees: $T^v = T^v_{k_v} \vee ... \vee T^v_2 \vee T^v_1$.

Proof. 1(i) follows easily from the definition of the plucking polynomial. Namely we see that the constant term is obtained in a unique way by always plucking the most rightmost leaf from the tree (repeating this each time in the calculation). Thus $c_0 = 1$. Similarly, the highest power of q is obtained uniquely by always plucking the leftmost leaf of the tree.
The condition that $c_i > 0$ for any $i \le N$ requires a more careful look at the recursive computation of $Q(T)$ and the proof is absolutely elementary; we leave it to the reader because in (iii) we provide much a stronger condition (but using a nontrivial fact proven by Sylvester).
(1)(ii) We start from observing the symmetry of q-binomial coefficients; namely we have:

$$\binom{a+b}{a,b}_{q^{-1}} = q^{-ab} \binom{a+b}{a,b}_q .$$

Then we use an easy observation that a product of symmetric polynomials is symmetric, and the fact we proved already and formulated in (2) that the polynomial $Q(T)$ is always a product of binomial coefficients.
(1)(iii) follows from the nontrivial fact, originally proved by Sylvester that q-binomial coefficients are unimodal and from a simple observation that a product of symmetric (i.e. palindromic) positive unimodal polynomials is symmetric unimodal. (see [Sta, Win]).
(1)(iv) The formula for c_1 follows from the observation that $\binom{a+b}{a,b}_q = 1+q+...$ for $a, b > 0$ and more generally, $\binom{a_1+a_2+...+a_k}{a_1,a_2,...,a_k}_q = 1+(k-1)q+...$ for $a_1, a_2, ..., a_k > 0$.. Then the conclusion follows from the product formula of Corollary 2.3.

[5]Recall that nth cyclotomic polynomial is a minimal polynomial which has as a root $e^{2\pi i/n}$. We can write this polynomial as: $\Psi_n(q) = \prod_{\omega^n=1, \omega^k \neq 1, k<n} (q - \omega)$. For example $\Psi_4(q) = 1 + q^2$, $\Psi_6(q) = 1 - q + q^2$.

(2) and (3): These conditions follow directly from the product formula of Corollary 2.3(ii). □

With regard to Corollary 2.4(iii) we can ask: for which trees, is $Q(T)$ strictly unimodal, that is

$$c_0 < c_1 < ... < c_j > c_{j+1} > \ldots > c_N$$

for some j; compare the computation for the tree of Figure 2.1 (see also [Pak-Pan]).

3. Comments and Connections

As I was stressing from the beginning, and by now many readers may agree, the q-polynomial (plucking polynomial) is interesting on its own. However, I would have never constructed or discovered it if I had not observed its shadow in my knot theory research. Concretely it was my work with M.Dabkowski and his student C.Li concerning skein modules of generalized (lattice) crossings, Figure 3.1, which gave some initial motivation, [DLP]. In that paper we do not use $Q(T)$, as it was observed after the paper was completed. We will use it, however, in future research [D-P]. Knot theory also motivates specific generalizations of the plucking polynomial by enhancing it with a delay function, $f : L(V) \to \mathcal{N} = \{n \in \mathbb{Z} \mid n \geq 1\}$. This function regulates which leaves are used in the recursive formula (Definition 2.1) and which are "delayed". In fact we have much flexibility in the definition so we challenge a reader to play with possibilities.

The relation of the plucking polynomial to the Kauffman bracket skein modules is precise but difficult to describe succinctly. To have a concrete idea we can say that it concerns the study of the generalized (lattice) crossing (Figure 3.1), under the assumption that we resolve every crossing using the Kauffman bracket skein relation

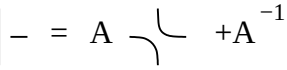

, and replace every trivial component by the Laurent polynomial $-A^2 - A^{-2}$.

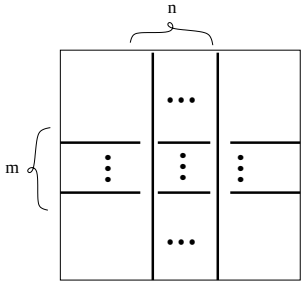

Figure 3.1; $T_{m\times n}$: $m \times n$ lattice crossing

One can generalize the plucking polynomial to any graph. If a graph G has a base-point b then the invariant $Q(G,b)$ is a collection (multiset) of plucking polynomials of spanning trees G with the root b [Prz]. I challenge the reader to study connections of this invariant with known invariants of graphs.

Our polynomial also has relations to homological algebra:
let $\mathcal{C}$ be a chain complex, that is a sequence of abelian groups, C_n, and homomorphisms $\partial_n : C_n \to C_{n-1}$, so that $\partial_{n-1}\partial_n = 0$. On the basis of a chain complex we build homology groups by defining $H_n(\mathcal{C}) = \ker \partial_n / im(\partial_{n+1})$. Very often in topology and homological algebra the boundary operation ∂_n is an alternating sum of homomorphisms, called face maps: $\partial_n = \sum_{i=0}^{n}(-1)^i d_i$. M. Kapranov asked about what happens if $(-1)^i$ is replaced by q^n, that is we define

$$\partial_n^q = \sum_{i=0}^{n} q^i d_i.$$

He noticed that if q is a kth root of unity different from 1 (i.e. $q^k = 1, q \neq 1$) then the kth iteration of ∂^q is the zero map ($\partial^q_{n-k+1}...\partial^q_{n-1}\partial^q_n = 0$), [Kapr]. The fact that Kapranov's idea is related to our q-polynomial is clear, however deep connections require careful study: possibly you – the reader – could make a breakthrough.

4. Acknowledgements

J. H. Przytycki was partially supported by the GWU REF grant, and Simons Collaboration Grant-316446.

References

[DLP] M. K. Dabkowski, C. Li, J. H. Przytycki, Catalan states of lattice crossing, *Topology and its Applications*, 182, 2015, 1-15;
e-print: `arXiv:1409.4065 [math.GT]`

[D-P] M. K. Dabkowski, J. H. Przytycki, Catalan states of lattice crossing II, in preparation.

[K-C] V. Kac, P. Cheung, Quantum calculus, Universitext, Springer 2002.

[Kapr] M. M. Kapranov, On the q-analog of homological algebra, *Jour. Knot Ram.*, to appear; e-print `arXiv:q-alg/9611005`

[Lod] J-L. Loday, Cyclic Homology, Grund. Math. Wissen. Band 301, Springer-Verlag, Berlin, 1992 (second edition, 1998).

[Pak-Pan] I. Pak, G. Panova, Strict Unimodality of q-Binomial Coefficients, *C. R. Acad. Sci. Paris, Ser. I*, 351 (11-12), June 2013, 415-418. e-print: `arXiv:1306.5085 [math.CO]`

[Prz] J. H. Przytycki, Knots and Graphs: two centuries of interaction, Proceedings of Knots-2013, Mohali, India, to appear in *Contemporary Mathematics*, 2016.

[Sta] R. P. Stanley, Log-concave and unimodal sequences in algebra, combinatorics, and geometry, *Ann. New York Sci.*, 576, New York Acad. Sci., New York, 1989, 500-535.

[Win] A. Wintner, Asymptotic Distributions and Infinite Convolutions, Edwards Brothers, Ann Arbor, Michigan, 1938.

Department of Mathematics,
The George Washington University,
Washington, DC 20052
e-mail: `przytyck@gwu.edu`,
University of Maryland College Park,
and University of Gdańsk

A free translation of the paper in Polish

Płaszczyzna kwantowa i q-wielomian drzew z korzeniem
Józef H. Przytycki

Streszczenie Prezentujemy tutaj nowy niezmiennik drzew z korzeniem. Sądzimy, że jest on nie tylko ciekawy sam w sobie, ale również poprzez związki z teorią węzłow i algebrą homologiczną. Jednak prawdziwym powodem prezentacji tego wielomianu czytelnikom Macierzatora jest to, że mamy tu do czynienia z całkowicie elementarną niemniej zupełnie nową interesujacą matematyką. Po przeczytaniu tego eseju czytelnicy mogą brać udział w rozwoju niezmiennika, zastosowaniach i związkach z innymi działami matematyki czy też mechaniki statystycznej lub kombinatorycznej biologii.

1. Wstęp

Nieprzemienna płaszczyzna zwana także płaszczyzną kwantową rozważana już była ponad sto lat temu przez MacMahona[6]. Używa się jej w wielu dziedzinach matematyki i fizyki. Tutaj pokażemy jak naturalnie prowadzi ona do wielomianowego niezmiennika drzew i grafów.

1.1. Nieprzemienna płaszczyzna zwana także płaszczyzną kwantową.

Wszyscy znamy standardowy wzór na dwumian Newtona:

$$(x+y)^n = \sum_{i=0}^{n} \binom{n}{i} x^i y^{n-i}$$

Oczywiście zakładamy tutaj przemienność zmiennych czyli $yx = xy$. Możemy wyobrazić sobie dowód bez słów pisząc

$$(x+y)^n = (x+y)(x+y)(x+y)...(x+y) \text{ } n \text{ razy}$$

i interpretując współczynnik przy jednomianie $x^i y^{n-i}$ jako liczbę wyborów i nawiasów z posród n nawiasów, z których wybieramy x (z pozostaiłych wybieramy y). Liczbą tą jest $\binom{n}{i}$.

Jeśli dowodzimy wzór dwumianowy przez indukcję to wykorzystujemy tożsamość $\binom{n}{i} = \binom{n-1}{i-1} + \binom{n-1}{i}$, tę samą tożsamość z którą związany jest trójkąt Pascala.

[6]Percy Alexander MacMahon (1854 – 1929).

Można jednak zadać pytanie co się stanie gdy przemienność nieznacznie osłabimy i założymy, że $yx = qxy$ (q jest przemienne z x i y). W zastosowaniach z fizyki q jest często wybraną liczbą zespoloną ale dla nas najlepiej myśleć ogólnie, że q jest zmienną czyli pracujemy w pierścieniu wielomianów $Z[q]$.

Jeśli nie znamy wyniku należy zacząc od przykładów:
$(x+y)^2 = y^2 + xy + yx + x^2 = y^2 + (1+q)xy + x^2$,
$(x+y)^3 = y^3 + xy^2 + yxy + y^2x + x^2y + xyx + yx^2 + x^3 =$
$y^3 + (1+q+q^2)xy^2 + (1+q+q^2)x^2y + y^3$,

Widzimy, ze $1+q$ odgrywa rolę dwójki w standardowym wzorze dwumianowym. Podobnie $1+q+q^2$ odgrywa rolę trójki. Sugeruje to, że rolę liczby n odgrywać będzie $1+q+q^2+...+q^{n-1}$, szczególnie, że dla $q=1$ otrzymamy n. Wprowadźmy wiec oznaczenie na ten kwantowy odpowiednik liczby n: $[n]_q = 1+q+q^2+...+q^{n-1}$
Liczmy dalej: $(x+y)^4 = y^4 + xy^3 + yxy^2 + y^2xy + y^3x + x^2y^2 + xyxy + xy^2x + yx^2y + yxyx + y^2x^2 + x^3y + x^2yx + xyx^2 + yx^3 + x^4 = y^4 + (1+q+q^2+q^3)xy^3 + (1+q+2q^2+q^3+q^4)x^2y^2 + (1+q+q^2+q^3)x^3y + x^4 = y^4 + (1+q+q^2+q^3)xy^3 + (1+q^2)(1+q+q^2)x^2y^2 + (1+q+q^2+q^3)x^3y + x^4 = y^4 + [4]_q xy^3 + (1+q^2)[3]_q x^2y^2 + [4]_q x^3y + y^4$.
Tutaj naturalną, zaczyna być sugestia, że nie tylko $1+q+...q^{n-1}$ powinno byc q-odpowiednikiem liczby n, ale tym samym duchu powinnismy zdefiniować silnię q-liczby $[n]_q$ jako: $[n]_q! = [n]_q[n-1]_q \cdots [2]_q[1]_q$, a q-odpowiednik symbolu Newtona, zwany także q-wielomianem Gaussa jako $\binom{n}{i}_q = \frac{[n]_q!}{[i]_q![n-i]_q!}$ (często by podkreślić symetrię q-wielomianu Gaussa będziemy też używać zapisu $\binom{n}{i,n-i}_q$). Mozemy wtedy zapisać współczynnik przy x^2y^2 jako:
$(1+q^2)[3]_q = \frac{[4]_q[3]_q}{[2]_q} = \frac{[4]_q!}{[2]_q![2]_q!} = \binom{4}{2}_q$.

W naszej notacji poprzednie rachunki mogą być zapisane zwięźle jak poniżej:

$$(x+y)^2 = y^2 + [2]_q xy + x^2,$$

$$(x+y)^3 = y^3 + [3]_q xy^2 + [3]_q x^2y + x^3,$$

$$(x+y)^4 = y^4 + [4]_q xy^3 + \frac{[4]_q[3]_q}{[2]_q} x^2y^2 + [4]_q x^3y + x^4 =$$

$$y^4 + [4]_q xy^3 + \binom{4}{2}_q x^2y^2 + [4]_q x^3y + x^4.$$

Można teraz zgadnąć ogólną formułę:

Stwierdzenie 1.1.

$$(x+y)^n = \sum_{i=0}^{n} \binom{n}{i}_q x^i y^{n-i}.$$

Dowód. Dowód bez słów zostawiam czytelnikom, mimo że jest podobny do przemiennego przypadku wymaga większego skupienia i ja go widzę gdy jestem wyspany i po kawie...

Nietrudno zasugerować jednak dowód przez indukcję po n. Sprawdziliśmy już formułę dla $n \leq 4$ (by formuła działała potrzebujemy, jak w klasycznym przypadku, konwencji, że $[0]_q! = 1$ i w konsekwencji $\binom{n}{0}_q = 1 = \binom{n}{n}_q$.
Teraz przeprowadzimy krok indukcyjny (od $n-1$ do n):

$$(x+y)^n = (x+y)(x+y)^{n-1} = (x+y)\sum_{i=0}^{n-1} \binom{n-1}{i, n-i-1}_q x^i y^{n-i-1} =$$

$$\sum_{i=0}^{n-1} \binom{n-1}{i, n-i-1}_q x^{i+1} y^{n-i-1} + \sum_{i=0}^{n-1} q^i \binom{n-1}{i, n-i-1}_q x^i y^{n-i} =$$

$$\sum_{i=0}^{n} (\binom{n-1}{i-1, n-i}_q + q^i \binom{n-1}{i, n-i-1}_q) x^i y^{n-i}.$$

Używamy konwencji, że $\binom{n-1}{-1,n}_q = 0$.
Pozostaje nam sprawdzić, że

$$\binom{n-1}{i-1, n-i}_q + q^i \binom{n-1}{i, n-i-1}_q = \binom{n}{i}_q.$$

Zachęcamy czytelnika do sprawdzenia tego samemu bez patrzenia na nastepujące obliczenie:

(i) $[a+b]_q = 1 + q + ... + q^{a+b-1} = (1 + q + ... + q^{a-1}) + q^a(1 + q + ... + q^{b-1}) = [a]_q + q^a[b]_q = [b]_q + q^b[a]_q$.

(ii)

$$\binom{a+b}{a, b}_q = \frac{[a+b]_q!}{[a]_q![b]_q!} = [a+b]_q \frac{[a+b-1]_q!}{[a]_q![b]_q!} =$$

$$([a]_q + q^a[b]_q)\frac{[a+b-1]_q!}{[a]_q![b]_q!} = \frac{[a+b-1]_q!}{[a-1]_q![b]_q!} + q^a \frac{[a+b-1]_q!}{[a]_q![b-1]_q!} =$$

$$\binom{a+b-1}{a-1, b}_q + a^q \binom{a+b-1}{a, b-1}_q = \binom{a+b-1}{a, b-1}_q + b^q \binom{a+b-1}{a-1, b}_q.$$

Możemy interpretować klasyczną formułe na współczynniki $(x+y)^n$ przez rozważenie drzewa $T_{b,a}$ o dwóch długich krawędziach (lub raczej gałęziach) o długości b i a odpowiednio, wychodzących z korzenia, tak jak to jest pokazane na rysunku 1.1. Można zadać pytanie na ile sposobów drzewo to da się oskubać jak w dziecinnej zabawie "lubi – nie lubi", liść po liściu. Za każdym razem musimy tylko zdecydować czy skubiemy lewą czy prawą gałąź; lewa ma być skubana b razy a prawa a razy. Jasne, że musimy wybrać a spośród $a+b$ ruchów także odpowiedź to $\binom{a+b}{a}$. Nasza praca opowiada o dramatycznym uogólnieniu tego przykładu.

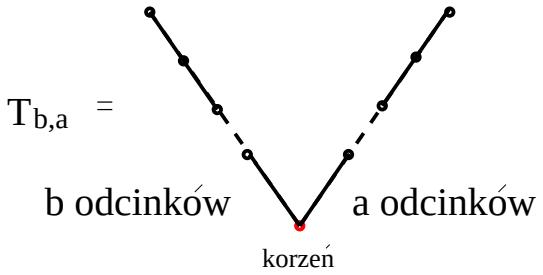

Rysunek 1.1; drzewo $T_{b,a}$ z gałęziami o długości b i a

Wróćmy do naszego drzewa o dwóch gałęziach, i spróbujmy grać grę skubania w q-stylu: Znaczyć to będzie, że każde skubanie będzie miało wagę q podniesioną do jakiejś potęgi. Dokładniej, liść z prawej strony będzie miał wagę 1 a liść z lewej strony wagę q^a (jako przyczynę takiego wyboru podamy to, że ma on a odcinków (krawędzi) po swej prawej stronie). Tak wiec jako wynik otzymamy nie liczbę "skubań" ale wielomian skubań, który oznaczymy przez $Q(T_{b,a})$. Nasza definicja daje następującą rekurencyjną relację: $Q(T_{b,a}) = Q(T_{b,a-1}) + q^a Q(T_{b-1,a})$. Zauwaiżamy także, że $Q(T_{0,a}) = Q(T_{b,0}) = 1$. Możemy teraz rozpoznać, że wielomian skubania dany jest formułą: $Q(T_{b,a}) = \binom{a+b}{a,b}_q$. To jest punkt wyjściowy do ogólnej definicji q-wielomianu drzewa z korzeniem o którym mowa w tytule tego eseju.

Możemy powtórzyc nasze rozważania używając wielu zmiennych, $x_1, x_2, ..., x_k$. Jeśli zmienne są przemienne to otrzymujemy znaną nam

pewnie wszystkim z rachunku różniczkowego wielu zmiennych wielomianową formułę Newtona:

$$(x_1 + x_2 + ...x_k)^n = \sum_{a_1,...,a_k;\sum a_i=n} \binom{n}{a_1, ..., a_k} x_1^{a_1} x_2^{a_2} \cdots x_k^{a_k},$$

gdzie $\binom{n}{a_1,...,a_k} = \frac{n!}{a_1!...a_k!}$. Tak jak przedtem miłą interpretacją tego wyrażenia $\binom{n}{a_1,...,a_k}$ jest liczba skubań drzewa $T_{a_k,...,a_2,a_1}$ o k długich gałęziach długości $a_k, ..., a_2, a_1$ tak jak to jest pokazane na rysunku 1.2 poniżej.

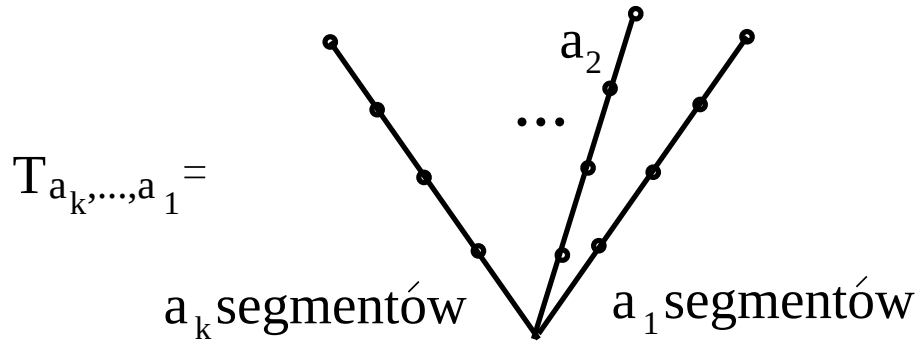

Rysunek 1.2; drzewo $T_{a_k,...,a_1}$ z gałęziami długości $a_k, ..., a_1$

Możemy teraz rozpatrzyć nieprzemienną przestrzeń z $x_j x_i = q x_i x_j$ dla $i < j$. Otrzymamy teraz formułę:

$$(x_1 + x_2 + ...x_k)^n = \sum_{a_1,...,a_k;\sum a_i=n} \binom{n}{a_1, ..., a_k}_q x_1^{a_1} x_2^{a_2} \cdots x_k^{a_k},$$

gdzie $\binom{n}{a_1,...,a_k}_q = \frac{[n]_q!}{[a_1]_q!...[a_k]_q!}$.
Aby wykazać tę formułę możemy, jak przedtem, użyć indukcji po n i nastepujące tożsamości są kluczowe w dowodzie:

(i) $[a_1+a_2+...+a_k]_q = [a_1]_q + q^{a_1}[a_2]_q + q^{a_1+a_2}[a_2]_q + ... + q^{a_1+a_2+...+a_{k-1}}[a_k]_q$.

(ii)

$$\binom{a_1 + a_2 + ... + a_k}{a_1, a_2, ..., a_k}_q = \binom{a_1 + a_2 + ... + a_k - 1}{a_1 - 1, a_2, ..., a_k}_q +$$

$$q^{a_1}\binom{a_1 + a_2 + ... + a_k - 1}{a_1, a_2 - 1, ..., a_k}_q + ... + q^{a_1+a_2+...+a_{k-1}}\binom{a_1 + a_2 + ... + a_k - 1}{a_1, a_2, ..., a_k - 1}_q.$$

Ponownie możemy interpretować q-wielomianowe współczynniki poprzez q-skubanie drzewa $T_{a_k,...,a_2,a_1}$, zakładając przy q-skubaniu następującą

formułę:

$$Q(T_{a_k,\ldots,a_2,a_1}) = Q(T_{a_k,\ldots,a_2,a_1-1}) + q^{a_1}Q(T_{a_k,\ldots,a_2-1,a_1}) +$$
$$q^{a_1+a_2}Q(T_{a_k,\ldots,a_3-1,a_2,a_1}) + \ldots + q^{a_1+a_2+\ldots+a_{k-1}}Q(T_{a_k-1,\ldots,a_2,a_1}).$$

Ponieważ rekurencyjny wzór jest taki sam jak dla q wielomianowych symboli Newtona więc

$$Q(T_{a_k,\ldots,a_2,a_1}) = \binom{a_1 + a_2 + \ldots + a_k}{a_1, a_2, \ldots, a_k}_q.$$

2. Rekurencyjna definicja q-wielomianu płaskiego drzewa z korzeniem

Pokażemy tutaj jak nasze rozważania o kwantowej płaszczyznie i nieprzemiennej przestrzeni można uogólnić do dowolnego drzewa z korzeniem (tzn. punktem wyróżnionym czy bazowym). Zaczniemy od założenia, że drzewo jest płaskie (to znaczy zanurzone na płaszczyźnie), a później wykażemy, że otrzymany q-wielomian skubania nie zależy od włożenia. Możemy węc powiedzieć, że q-wielomian jest niezmiennikiem drzewa z korzeniem.

Tak więc zakładamy w tej konstrukcji, że drzewo z korzeniem jest zanurzone na płaszczyznie (płaskie drzewo). W naszej konwencji drzewo rośnie do góry.

Definition 2.1. *Niech T będzie płaskim drzewem z korzeniem v_0, wtedy wieloman $Q_{T,v_0}(q)$ lub krótko $Q(T) \in \mathbb{Z}[q]$ jest zdefiniowany przez warunek początkowy $Q(\bullet) = 1$ i relację rekurencyjną*

$$Q(T) = \sum_{v \in L(T)} q^{r(T,v)} Q(T - v), \text{ gdzie } L(T) \text{ jest zbiorem liści drzewa } T,$$

to znaczy wierzchołków stopnia 1 różnych od korzenia, a $r(T, v)$ jest liczbą krawędzi T na prawo od jedynej drogi łączącej v z korzeniem v_0; porównaj rysunek 2.1.

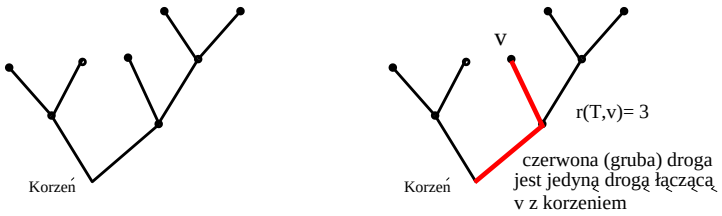

Rysunek 2.1; płaskie drzewo z korzeniem i przykład liczenia wykładnika $r(T, v)$

Dla przykładu policzyliśmy już, że $Q(\bigvee) = (1+q) = [2]_q$ lub ogólniej $Q(T_n) = [n]_q!$, gdzie T_n jest gwiazdą z n promieniami, $[n]_q = 1+q+...+q^{n-1}$ a q-silnia zdefiniowana jest analogicznie jak zwykła silnia: $[n]_q! = [n]_q[n-1]_q \cdots [2]_q[1]_q$ (czyli notacja jakiej używaliśmy w przypadku kwantowej powierzchni).

Twierdzenie 2.2. *Niech $T_1 \vee T_2$ będzie bukietem (produktem sklejającym korzenie)) (* 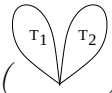

). Wtedy:

$$Q(T_1 \vee T_2) = \binom{|E(T_1)| + |E(T_2)|}{|E(T_1)|}_q Q(T_1)(Q(T_2)$$

Dowód. Dowód przeprowadzamy przez indukcję po ilości krawędzi , $|E(T)|$, drzewa $T = T_1 \vee T_2$ z naturalnym warunkiem początkowym gdy jedno z drzew nie ma krawędzi ($|E(T_1)||E(T_2)| = 0$) a formuła zachodzi w sposób oczywisty. Dla prostoty piszemy E_i zamiast $|E(T_i)|$.
Niech T będzie płaskim drzewem z korzeniem i $E_1E_2 > 0$. Wtedy otrzymujemy:

$$Q(T) = \sum_{v \in L(T)} q^{r(T,v)} Q(T-v) =$$

$$\sum_{v \in L(T_1)} q^{r(T_1,v)+E_2} Q((T_1 - v) \vee T_2) + \sum_{v \in L(T_2)} q^{r(T_2,v)} Q(T_1 \vee (T_2 - v)) \overset{\text{założenie indukcyjne}}{=}$$

$$\sum_{v \in L(T_1)} q^{r(T_1,v)+E_2} \binom{E_1+E_2-1}{E_1-1, E_2}_q Q(T_1 - v)Q(T_2) +$$

$$\sum_{v \in L(T_2)} q^{r(T_2,v)} \binom{E_1+E_2-1}{E_1, E_2-1}_q Q(T_1)Q(T_2 - v) =$$

$$Q(T_2) q^{E_2} \binom{E_1+E_2-1}{E_1-1, E_2}_q \sum_{v \in L(T_1)} q^{r(T_1,v)} Q(T_1 - v) +$$

$$Q(T_1) \binom{E_1+E_2-1}{E_1, E_2-1}_q \sum_{v \in L(T_2)} q^{r(T_2,v)} Q(T_2 - v) =$$

$$Q(T_1)Q(T_2)(q^{E_2} \binom{E_1+E_2-1}{E_1-1, E_2}_q + \binom{E_1+E_2-1}{E_1, E_2-1}_q) =$$

$$Q(T_1)Q(T_2)\binom{E_1+E_2}{E_1,E_2}_q \text{ jak potrzeba.}^7$$

■

Wniosek 2.3. (i) *Jeśli płaskie drzewo z korzeniem jest bukietem k drzew (* 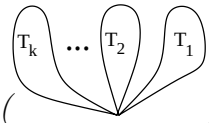

) to znaczy

$$T = T_k \vee ... \vee T_2 \vee T_1, \text{ wtedy}$$

$$Q(T) = \binom{E_k + E_{k-1} + ... + E_1}{E_k, E_{k-1}, ..., E_1}_q Q(T_k)Q(T_{k-1}) \cdots Q(T_1),$$

gdzie $E_i = |E(T_i)|$ jest liczbą krawędzi T_i.

(ii) *(Formuła w postaci produktu po stanach)*

$$Q(T) = \prod_{v \in V(T)} W(v),$$

gdzie $W(v)$ jest wagą wierzchołka (możemy nazywac to wagą Boltzmanna) zdefiniowaną przez:

$$W(v) = \binom{E(T^v)}{E(T^v_{k_v}), ..., E(T^v_1)}_q,$$

gdzie T^v jest poddrzewem T z korzeniem v (czesc T powyżej v, innymi słowy T^v wyrasta z v) i T^v może byc rozłożone na bukiet drzew: $T^v = T^v_{k_v} \vee ... \vee T^v_2 \vee T^v_1$.

(iii) *(niezależność od włożenia) Wielomian skubania, $Q(T)$ nie zależy od włożenia jest więc niezmiennikiem drzewa z korzeniem.*

(iv) *(zmiana korzenia). Niech e bedzie krawędzią drzewa T z koncami v_1 i v_2 a E_1 jest liczba krawędzi od strony v_1 drzewa, a E_2 jest liczba krawędzi T po stronie v_2 krawędzi e, gdzie*

$T =$ 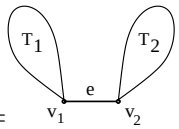

. Wtedy $Q(T, v_1) = \dfrac{[E_1+1]_q}{[E_2+1]_q} Q(T, v_2)$.

[7]Można zmodyfikować wielomian $Q(T)$ w ten sposób, że formuła z Twierdzenia 2.2 stanie się homomorfizmem. W tym celu definiujemy $Q'(T) = \frac{Q(T)}{[|E(T)|]_q!}$. Mamy teraz $Q'(T_1 \vee T_2) = Q'(T_1)Q'(T_2)$. Wadą takiej definicji jest to, że $Q'(T)$ nie zawsze jest wielomianem a często jest tylko funkcją wymierną.

Dowód. (i) Wzór z (i) wynika przez użycie kilka razy formuły:

$$Q(T_2 \vee T_1) = \binom{E(T_2)+E(T_1)}{E(T_2),E(T_1)}_q Q(T_2)Q(T_1),$$

jako, że mamy:

$$\binom{a_k+a_{k-1}+...+a_2+a_1}{a_k,a_{k-1},...,a_2,a_1}_q = \binom{a_{k-1}+...+a_2+a_1}{a_{k-1},...,a_2,a_1}_q \binom{a_k+a_{k-1}+...+a_2+a_1}{a_k,a_{k-1}+...+a_2+a_1}_q = ...$$

$$= \binom{a_2+a_1}{a_2,a_1}_q \binom{a_3+a_2+a_1}{a_3,a_2+a_1}_q \binom{a_4+a_3+a_2+a_1}{a_4,a_3+a_2+a_1}_q ... \binom{a_k+a_{k-1}+...+a_2+a_1}{a_k,a_{k-1}+...+a_2+a_1}_q$$

(ii) Formula (ii) wynika przez użycie (i) wiele razy.
(iii) Niezależność od włożenia wynika z faktu, że formuła produktowa z (ii) nie zależy od włożenia.
(iv) Porównujemy formułe z Twierdzenia 2.2 dla v_1 i v_2 otrzymując:

$$Q(T,v_1) = \binom{E_1+E_2+1}{E_1,E_2+1}_q Q(T_1)Q(T_2) \text{ oraz}$$

$$Q(T,v_2) = \binom{E_1+E_2+1}{E_1+1,E_2}_q Q(T_1)Q(T_2);$$

teraz formuła zmiany korzenia wynika natychmiast.
■

Podamy teraz kilka wniosków opisujących proste bazowe własności $Q(T)$ i mających pewne znaczenie w teorii węzłów.

Wniosek 2.4. (1) *$Q(T)$ jest postaci $c_0 + c_1 q + ... + c_N q^N$ gdzie:*
(i) $c_0 = 1 = c_N$, $c_i > 0$ dla każdego $i \leq N$ oraz
(ii) Niech k_v oznacza liczbę krawędzi wyrastających z wierzchołka v do góry, inaczej mówiąc jest to stopień wierzchołka v w drzewie T^v wyrastającym z v. W tej notacji, dla drzewa z korzeniem T mającym choć jedną krawędź, współczynnik c_1 dany jest następującą formułą:

$$c_1 = \sum_{v \in V(T)} (k_v - 1).$$

W szczególności w przypadku nietrywialnego drzewa binarnego, dla każdego wierzchołka różnego od liścia mamy $k_v = 2$ a więc $c_1 = |V(T)| - |L(T)|$.
(iii) $c_i = c_{N-i}$ (tzn. $Q(T)$ jest wielomianem symetrycznym (palindromicznym)).

(2) (i) *$Q(T)$ jest iloczynem q-symboli dwumianowych (typu $\binom{a+b}{a}_q$).*

(ii) *$Q(T)$ jest iloczynem wielomianow cyklotomicznych*[8].

(3) *Stopień wielomianu $N = degQ(T)$ można zapisać formułą:*

$$N = degQ(T) = \sum_{v \in V(T)} (\sum_{1 \leq i < j \leq k_v} E_i^v E_j^v),$$

gdzie, jak we wniosku 2.3(ii), T^v jest poddrzewem T z korzeniem v (cześć T powyżej v, innymi słowy T^v wyrasta z v) i T^v może być rozłożone na bukiet drzew: $T^v = T^v_{k_v} \vee ... \vee T^v_2 \vee T^v_1$.

Dowód. 1(i) najłatwiej wykazać z definicji; nietrudno zobaczyć, że wyraz stały otrzymujemy w jednoznaczny sposób biorąc liść najbardziej z prawej strony drzewa i powtarzając to w każdym kroku obliczen; stad $c_0 = 1$. Podobnie, najwyższą potęgę q otrzymujemy biorąc liść położony najbardziej z lewej strony drzewa w definicji rekurencyjne $Q(T)$, i ze wszystkie inne wybory dadzą mniejszą potęgę.
Warunek $c_i > 0$ dla każdego $i \leq n$ wymaga uważniejszego przyjrzenia się liczeniu $Q(T)$ ale dowód jest zupełnie elementarny; zostawiamy go czytelnikom jako, że w Twierdzeniu poniżej dowodzimy dużo mocniejszy warunek (ale używając znanego z literatury nietrywialnego faktu).
(1)(ii) Najprościej użyc tutaj formuły produktowej i zobaczyć kontrybucję każdego wierzchołka do wartości c_1:
Mamy teraz $\binom{a+b}{a,b}_q = 1 + q + ...$ jeśli $a, b > 0$. Z tego wynika, używając formuly z dowodu wniosku 2.3, że $\binom{a_1+a_2+...+a_k}{a_1,a_2,...a_k}_q = 1 + (k-1)q + ...$ dla $a_1, a_2, ..., a_k > 0$. Końcowy wynik dla c_1 wynika z formuły produktowej wniosku 2.3.

(1)(iii) Najprościej zacząć od sprawdzenia symetrii q-współczynnika Newtona. Mamy:

$$\binom{a+b}{a,b}_{q^{-1}} = q^{-ab} \binom{a+b}{a,b}_q .$$

Dalej używamy wniosku 2.3 i faktu ze iloczyn wielomianów symetrycznych jest symetryczny.
(2) i (3) Warunki te wynikają bezpośrednio ze wzoru produktowego we wniosku 2.3(ii). ■

Ćwiczenie 2.5. *Znaleźć wzór na c_2 wielomianu $Q(T)$ dla każdego drzewa z korzeniem T.*

[8]Przypomnijmy, że n-ty wielomian cyklotomiczny jest minimalnym wielomianem, którego pierwiastkiem jest $e^{2\pi i/n}$. Możemy go zapisać: $\Psi_n(q) = \prod_{\omega^n=1, \omega^k \neq 1, k<n} (q - \omega)$. Dla przykładu $\Psi_4(q) = 1 + q^2$, $\Psi_6(q) = 1 - q + q^2$.

Trudniejszym do wykazania jest następujący interesujący fakt.

Twierdzenie 2.6. *Ciag $c_0, c_1, ..., c_N$ jes unimodalny, tzn dla pewnego j (tutaj $\lfloor \frac{N}{2} \rfloor$ lub $\lceil \frac{N}{2}) \rceil$) mamy $c_0 \leq c_1 \leq ... \leq c_j \geq c_{j+1} \geq \ldots \geq c_N$.*

Dowód. Unimodalność wynika z nietrywialnego faktu, pokazanego przez Sylvestra, że q-symbole dwumianowe sa unimodalne, ponadto używamy prostszej obserwacji, że produkt symetrycznych (palindromicznych) dodatnich unimodalnych wielomianów jest unimodalny (see [Sta-1, Win]). ■

Można próbować uogólnić Twierdzenie 2.6(iii) odpowiadając na następujące pytanie: dla jakich drzew ich wielomian $Q(T)$ jest ściśle unimodalny, to znaczy

$$c_0 < c_1 < ... < c_{\lfloor N/2 \rfloor} = c_{\lceil N/2 \rceil} > \ldots > c_N;$$

(porównaj [Pak-Pan].).

3. Komentarze i powiązania

Jak podkreślałem we wstępie wielomian "skubania" jest ciekawy sam w sobie ale nigdy bym go nie skonstruował czy odkrył gdybym nie spostrzegł jego cienia w moich badaniach w teorii węzłów. Dla mnie motywacją była praca z moim byłym studentem Mieczysławem Dąbkowskim i jego studentem doktoranckim Changsongiem Li dotycząca modułów motkowych uogólnionego (kratowego) skrzyżowania; rysunek 3.1, [DLP]. W pracy tej, nie używamy wielomianu $Q(T)$ jako, że był on odkryty po napisaniu pracy. Będziemy go używać w przyszłych badaniach [D-P]. Węzły motywują też pewne uogólnienie wielomianu skubania, przez wyposażenie drzewa w funkcję opóźniającą, $f : L(V) \to \mathcal{N} = \{n \in \mathbb{Z} \mid n \geq 1\}$, mowiącą kiedy możemy użyc liścia w formule rekurencyjnej (dajemy tu dużo swobody czytelnikom jak zdefiniować taki wielomian "skubania" z funkcją opóźniającą).

Związek wielomanu "skubania" z nawiasem Kauffmana splotów jest precyzyjny ale trudny do zwięzłego zapisania. Aby mieć pewną ideę powiem krótko, że dotyczy on badania uogólnionego (kratowego) skrzyżowania (rysunek 3.1) przy założeniu, że każde skrzyżowanie można rozwiązać relacją motkową Kauffmana, jak na rysunku 3.2, a każdą trywialną zamkniętą składową można wyeliminować zastępując ją wielomianem Laurenta $-A^2 - A^{-2}$.

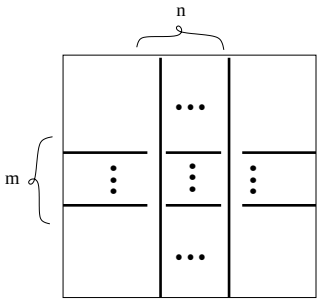

Rysunek 3.1; $T_{m\times n}$: $m \times n$ skrzyżowanie kratowe

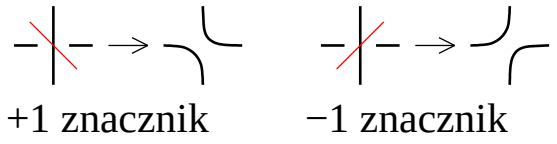

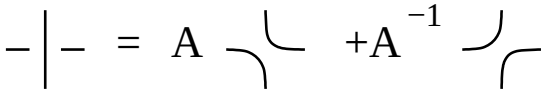

Rysunek 3.2; wygładzenia Kauffmana skrzyżowania i relacja motkowa

Wieloman skubania można uogólnić do dowolnych grafów. Jesli graf G ma punkt wyróżniony b to niezmiennik $Q(G, b)$ jest po prostu rodziną (wielo-zbiorem) wielomianów skubania wszystkich drzew rozpinajacych graf G z korzeniem b (krótką wzmiankę na temat tego niezmiennika zamieściłem w [Prz-2]). Związek naszego niezmiennika ze znanymi niezmiennikami grafów wymaga szczegółowych badań.

Nasz wielomian ma też związek z algebrą homologiczną:
Niech $\mathcal{C}$ bedzie kompleksem łańcuchowym to znaczy ciągiem grup abelowych, C_n i homomorfizmów $\partial_n : C_n \to C_{n-1}$ tak, że $\partial_{n-1}\partial_n = 0$. Na bazie kompleksu łancuchowego definiujemy grupy homologii przez $H_n(\mathcal{C}) = \ker \partial_n / im(\partial_{n+1}$. Bardzo często homomorfizm brzegu, ∂_n jest sumą alternujacą homomorfizmów zwanych funkcjami ściany $\partial_n = \sum_{i=0}^{n}(-1)^i d_i$. Michał Kapranov zadał pytanie co się stanie gdy $(-1)^i$ zostanie zastąpione przez q^n, to znaczy zdefiniujemy

$$\partial_n^q = \sum_{i=0}^{n} q^i d_i.$$

Zauważył on, że jeśli q jest k-tym pierwiastkiem z jedności róznym od 1 (tzn. $q^k = 1, q \neq 1$) to k-ta iteracja ∂^q daje zero ($\partial^q_{n-k+1}...\partial^q_{n-1}\partial^q_n = 0$), [Kapr]. To, że idea Kapranova jest w jakiś sposób związana z q-wielomianem drzewa z korzeniem wydaje się jasne, ale precyzyjne związki wymagają badań (może Ty czytelniku tym się zajmiesz?).

References

[DLP] M. K. Dabkowski, C. Li, J. H. Przytycki, Catalan states of lattice crossing, *Topology and its Applications*, 182, March, 2015, 1-15;
e-print: `arXiv:1409.4065 [math.GT]`

[D-P] M. K. Dabkowski, J. H. Przytycki, Catalan states of lattice crossing II, in preparation.

[Kapr] M. M. Kapranov, On the q-analog of homological algebra, *Journal Knot Theory Ram.* to appear 2016. e-print `arXiv:q-alg/9611005`

[Lod] J-L. Loday, Cyclic Homology, Grund. Math. Wissen. Band 301, Springer-Verlag, Berlin, 1992 (second edition, 1998).

[Pak-Pan] I. Pak, G. Panova, Strict Unimodality of q-Binomial Coefficients, *C. R. Acad. Sci. Paris, Ser. I*, 351 (11-12), June 2013, 415-418. e-print: `arXiv:1306.5085 [math.CO]`

[Prz-1] J. H. Przytycki, Progress in distributive homology: from q-polynomial of rooted trees to Yang-Baxter homology, in *Mathematisches Forschungsinstitut Oberwolfach* - Algebraic Structures in Low-Dimensional Topology, Report No. 26/2014, 2014, 47-50; e-print: `arXiv:1406.6499 [math.GT]`

[Prz-2] J. H. Przytycki, Knots and Graphs: two centuries of interaction, Proceedings of Knots-2013, Mohali, India, to appear in *Contemporary Mathematics*, 2016. ‘

[Sta-1] R. P. Stanley, Log-concave and unimodal sequences in algebra, combinatorics, and geometry, *Ann. New York Sci.*, 576, New York Acad. Sci., New York, 1989, 500-535.

[Sta-2] R. P. Stanley, Algebraic Combinatorics, Walks, Trees, Tableaux, and more; Undergraduate Texts in Mathematics, Springer, 2013.

[Win] A. Wintner, Asymptotic Distributions and Infinite Convolutions, Edvards Brothers, Ann Arbor, Michigan, 1938.

Wydział Matematyki,
George Washington University,
oraz University of Maryland College Park,
a także Uniwersytet Gdański